

## کنترل کیفی داده‌های رادار هواشناسی با استفاده از ساختار افقی و قائم برگشت‌پذیری

محمود صفر<sup>۱</sup>، فرهنگ احمدی گیوی<sup>۲\*</sup> و یحیی گلستانی<sup>۳</sup>

<sup>۱</sup>دانشجوی دکتری هواشناسی، موسسه ژئوفیزیک، دانشگاه تهران، ایران

<sup>۲</sup>دانشیار گروه فیزیک فضا، موسسه ژئوفیزیک، دانشگاه تهران، ایران

<sup>۳</sup>استادیار گروه فیزیک فضا، موسسه ژئوفیزیک، دانشگاه تهران، ایران

(تاریخ دریافت: ۹۴/۰۶/۱۲، تاریخ پذیرش: ۹۴/۱۲/۱۸)

### چکیده

رادارهای هواشناسی قابلیت نمونه‌برداری از جو با تفکیک زمانی و مکانی بالا دارند و بسته به نوار بسامد مورد استفاده، دارای کاربردهای متعدد در علوم جوی با مقیاس‌های مکانی گوناگون هستند. شبکه رادار هواشناسی ایران در نوارهای بسامدی C و S از قابلیت تشخیص قطرات باران و تعیین میزان بارش برخوردار است. داده‌های رادار هواشناسی دارای نویفه‌های متعددی است که استفاده مطمئن و پیوسته از آنها مشروط به حذف این نویفه‌ها است. اصلاح داده‌های زمینه علاوه بر از بین بردن نویفه‌های مختلف، میدان‌های اندازه‌گیری شده را نیز به صورت مطلوبی تصحیح می‌کند. مورد مطالعاتی پژوهش حاضر، رادار هواشناسی تهران است که از سمت شمال غرب متأثر از انتشار امواج مزاحم نوار C است که پهنی بزرگی از منطقه را کاملاً اشباع کرده‌اند. نتایج این پژوهش نشان‌دهنده رفع مناسب نویفه‌های ناشی از کلاترهای ثابت و انتشار ناهمگون امواج راداری و همچنین نویفه‌های نقطه‌ای و محلی است. صافی به کار رفته، نویفه این منطقه را نیز به خوبی کاهش داده و در نتیجه کیفیت داده‌ها را اصلاح کرده است. میزان کارایی صافی‌ها بستگی به تنظیم آستانه حساسیت آنها دارد که بنا به کاربرد داده‌ها تنظیم‌پذیر است.

**واژه‌های کلیدی:** رادار هواشناسی تهران، نوار C، نوار S، بارش، نویفه، برگشت‌پذیری

ناشی از حرکت پرنده‌گان و حشرات (بیننگون و همکاران، ۲۰۰۷).

دسته دوم از خطاهای مربوط به راهبرد پویش (اسکن) راداری، هندسه باریکه رادار و درونیابی داده‌ها (خطاهای ناشی از خمیدگی باریکه راداری در زاویه تابش کمتر از ۱/۲ درجه نسبت به افق به علت خمیدگی زمین) می‌باشد. به عنوان مثال هرچه فاصله شعاعی نمونه‌گیری از رادار بیشتر باشد، به علت بازتر شدن زاویه باریکه آتن، این خطا بزرگ‌تر می‌شود. از سوی دیگر، برخورد باریکه با موانع سخت کوهساری (توپوگرافی) و یا انسداد بهدلیل ساختمان‌ها و درخت‌ها نیز جزء خطاهای داده راداری است (بچ و همکاران، ۲۰۰۷).

دسته سوم خطاهای ناشی از چگونگی رفتار یک پدیده جوی در مقایسه با هندسه باریکه راداری است. برای نمونه، زمانی که گستره فضایی بارش کوچک باشد و یا زمانی که بارش در ارتفاعی پایین‌تر از پوشش راداری رخداد، پژواک آن تمام باریکه را پر نمی‌کند. دسته چهارم خطاهای اختصاص به پدیده‌های جوی دارد که به صورت مستقیم داده‌ها را تحت تاثیر قرار می‌دهند و شامل این موارد هستند: الف) تضعیف ناشی از فازهای مختلف بارش (باران، برف، برف در حال ذوب، نگرگ) و همچنین تضعیف به علت طول موج و توان رادار، بهخصوص در نواحی بسامدی C و X، که باعث فروتخمین بارش می‌شود، ب) تعیین رابطه بین بارش و برگشت‌پذیری راداری که به علت تاثیر بحرانی اندازه قطره‌ها بر روی این پارامتر بسیار حساس است، ج) نوع بارش همرفتی و یا پوشنی (شالک و همکاران، ۲۰۰۴).

حذف نوافه‌های فوق در تشخیص الگوی سامانه‌ها، هم از نظر کیفی و هم کمی تاثیر بسزایی دارد که اصلی‌ترین آنها، کاهش خطای محاسبه مقادیر بارش سطحی حاصل از داده‌های راداری و ایستگاه‌های باران‌سنگی است

## ۱ مقدمه

رادارهای هواشناسی به علت داشتن تفکیک زمانی-مکانی مناسب، دارای قدرت تشخیص و تعیین موقعیت پدیده‌های کوچک مقیاس و زیر مقیاس شبکه نظیر هموفت هستند و با استفاده از الگوریتم‌های مختلف، امکان تعقیب و تفکیک مناطق بارشی را با دقت بالا فراهم می‌کنند (روزنفیلد و همکاران، ۱۹۹۵؛ اشتینر و همکاران، ۱۹۹۹؛ زمیک، ۲۰۰۳ و ۲۰۰۵). همچنین این رادارها در بررسی خطوط بارش همرفتی و فرایندهای دینامیکی مربوط به هموفت مانند ناپایداری متقارن نقش زیادی داشته و یکی از ابزارهای بسیار مهم در پیش‌بینی مسیر حرکت پیچندها محسوب می‌شوند.

استفاده از داده‌های رادار هواشناسی به عنوان داده‌های ورودی در مدل‌های عددی پیش‌بینی جو، مدل‌های آب-شناختی (هیدرولوژی) و مدل‌های انتقال آلودگی مورد ارزیابی و اجرای عملی قرار گرفته است (رزا و همکاران، ۲۰۱۰ و ۲۰۰۵؛ زاپا و همکاران، ۲۰۱۰). شرط استفاده از این داده‌ها اطمینان از درستی آنها و عدم وجود نوافه‌های مختلف در داده‌ها است (گلستانی و همکاران، ۱۹۹۵؛ برینگی و همکاران، ۱۹۹۱). نوافه‌هایی که درستی داده‌ها را زیر سوال می‌برند از منابع متنوع ناشی می‌شوند. دسته اول خطاهای که مربوط به مشخصات فی رادار است، عبارتند از: الف) نوافه سخت‌افزاری رادار حاصل از مقاومت گرمایی قطعات الکترونیکی، دقت آتن، دقت در پردازش سیگنال (جیکت و همکاران، ۲۰۰۴)، ب) خطاهای نامرتبط با پدیده‌های جوی نظیر اختلال الکترومغناطیسی ناشی از تابش خورشید، گسیلندهای ریزموچ (microwave) ساخت بشر و تضعیف به علت خیس بودن و یا بخزدگی پوشش آتن (Antenna radome) (جرمن و جوس، ۲۰۰۴؛ هوبرت، ۲۰۰۳)، ج) انتشار ناهمگون باریکه رادار بهدلیل گردایان دما و رطوبت و همچنین بازتابش‌های

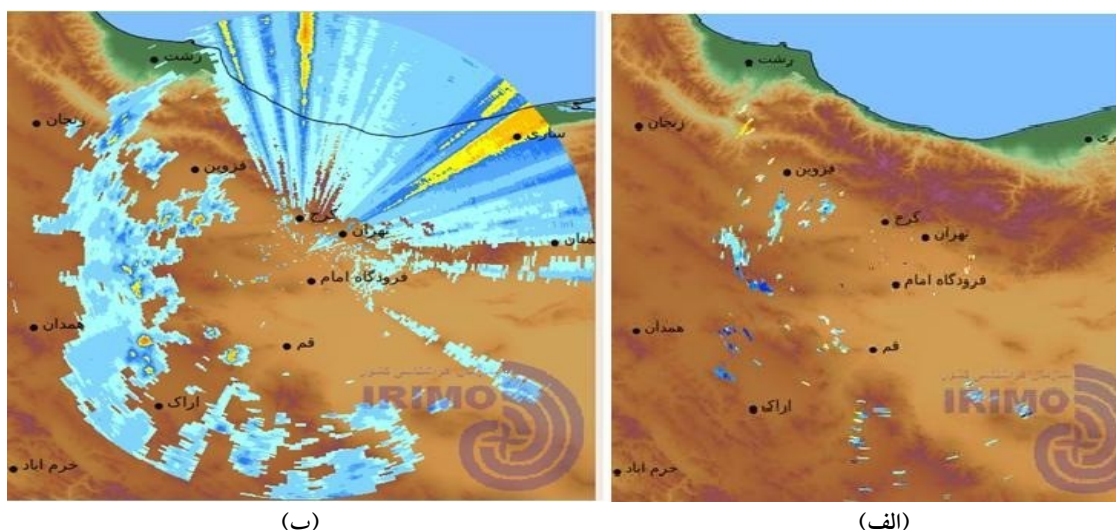
شرقی-شمالی، درستی این داده‌ها را با شیوه مواجه کرده است.

به صورت کلی، برطرف کردن خطاهای شرح داده شده در محصولات راداری از سه راه امکان‌پذیر است (اشتینر و اسمیت، ۲۰۰۲): ۱) مکان‌یابی مناسب و نصب رادار در منطقه‌ای که کمترین تداخل و مانع طبیعی در مسیر انتشار امواج وجود داشته باشد، ۲) انجام اصلاحات و طراحی مدارها و سامانه‌های سخت‌افزاری که با استفاده از صافی، در مرحله ریزموچ نوشهای ناخواسته را حذف کنند و هم‌چنین طراحی نرم‌افزارهایی که داده‌های پایه خروجی گیرنده را مورد ارزیابی و اصلاح قرار دهند، ۳) طراحی نرم‌افزاری برای رفع خطاهای ایجادشده بر روی داده‌های نهایی رادار مانند برگشت‌پذیری قائم و یا افقی.

راهکارهای اول و دوم ذکر شده در فوق، نیازمند انتخاب مناسب ملزومات سخت‌افزاری و مکان نصب رادار است که معمولاً با دقت انجام می‌پذیرد؛ ولی در شرایطی که بعد از نصب رادار اختلالات الکترومغناطیسی رخ دهد، مهم‌ترین اقدام ضروری و قابل اجرا، استفاده از راهکار سوم یعنی اصلاح داده‌های خروجی رادار است. لازم به

(هریسون و همکاران، ۲۰۰۰؛ ملنیکوف و همکاران، ۲۰۰۳؛ ایلماز و همکاران، ۲۰۰۵). استفاده از داده‌های راداری کنترل کیفی شده همراه با در نظر گرفتن کوهساری و ناهمواری‌ها باعث افزایش دقت اندازه‌گیری‌های مکانی بارش سطحی توسط رادار می‌شود (جاس و ولی، ۱۹۹۰)، یعنی، نه تنها برگشت‌پذیری راداری حاصل از بارش باید تحلیل شود، بلکه شرایط کوهساری منطقه نیز باید در محاسبات لحاظ شود. ذکر این نکته حائز اهمیت است که انجام کنترل کیفی بر روی یک رادار را نمی‌توان مبنای کلی برای تمام شبکه راداری در نظر گرفت و لازم است بررسی خصوصیات هر ایستگاه (سایت) راداری به‌طور جداگانه انجام گیرد (اینفالت و همکاران، ۲۰۱۰).

شکل ۱ نمونه داده‌های برگشت‌پذیری افقی و سرعت شعاعی حاصل از رادار هواشناسی تهران تحت تاثیر شدید نوشه رانشان می‌دهد. این تصاویر راداری مربوط به ساعتی قبل از وزش توفان شدید دوازدهم خردادماه ۱۳۹۳ در شهر تهران است. وجود هسته‌های هم‌رفتی بسیار قوی به‌صورت هلالی در شمال‌غرب، غرب و جنوب‌غرب مشخص می‌باشد، در حالی که وجود نوشه در بخش



شکل ۱. (الف) نمایه سرعت شعاعی در ساعت ۱۰۴۵ UTC روز ۲ ژوئن ۲۰۱۴. وجود گرادیان شدید باد در جنوب‌غرب تهران مشهود است؛ (ب) نمایه برگشت‌پذیری افقی رادار تهران در ساعت ۱۰۱۵ UTC همان روز.

رادار در مدل‌های پیش‌بینی عددی جوّ و ایجاد یک سامانه پیش‌بردازشی راداری برای تشخیص، تعقیب و اعلام اخطار پدیده‌های حدی جوّ به طور مؤثر است. با توجه به لزوم استفاده از داده‌های مطمئن و عاری از نوافه‌های مختلف در مراحل بعدی از پژوهش جامع، ضرورت داشت ابتدا داده‌های خام راداری به روشی بومی و متناسب با نوع نوافه‌های موجود کنترل کیفی و اصلاح شوند.

## ۲ داده‌های راداری

اگرچه رادارهای هواشناسی از لحاظ سامانه‌ای همانند سایر رادارهای تَپ (پالس) دوپلری عمل می‌کنند، ولی برای پردازش سیگنال‌های برگشتی و استخراج داده‌ها و محصولات هواشناسی آنها از الگوریتم‌های متفاوتی استفاده می‌شود. به طور کلی در این رادارها، پارامتر اولیه که مبنای محاسبه محصولات ثانویه می‌باشد، برگشت‌پذیری است. این پارامتر براساس اندازه‌گیری‌های حاصل از توان برگشتی، مقطع راداری اهداف هواشناسی و پارامترهای سامانه‌ای رادار به دست می‌آید که به صورت خلاصه طبق رابطه زیر بیان می‌شود (اتلس، ۱۹۹۰):

$$Z = \frac{1024 \ln(2)}{c\pi^3} \left[ \frac{\lambda^2}{P_i \tau G^2 \Theta \Phi} \right] \left[ \frac{\bar{P}_r}{K^2 r^2} \right]. \quad (1)$$

این رابطه از سه بخش تشکیل شده که بخش اول ضرایب ثابت است. بخش دوم مربوط به مشخصات سامانه‌ای رادار است که شامل  $\lambda$  طول موج رادار،  $\tau$  طول زمان ارسال تَپ رادار،  $P_i$  توان فرستنده رادار،  $G$  بهره آتن رادار،  $\Theta$  و  $\Phi$  به ترتیب اندازه پهنای باریکه در راستاهای قائم و افقی آتن می‌باشد. بخش سوم معرف مشخصات پدیده جوّی است که در آن  $P_r$  متوسط توان برگشتی از پدیده جوّی،  $r$  فاصله مورب (مستقیم) بین آتن و پدیده جوّی و  $K$  ثابت اتلاف پدیده موجود (برف، بیخ، آب و ...) در طول موج راداری هستند. به طور معمول، پس از محاسبه

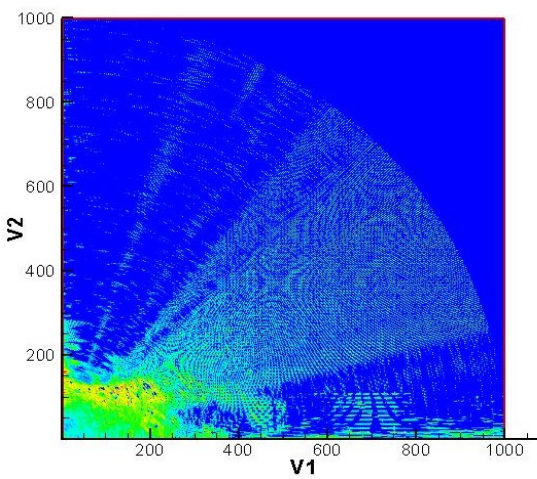
سوم یعنی اصلاح داده‌های خروجی رادار است. لازم به ذکر است که به کار بردن داده‌های پایه راداری  $I$  &  $Q$  در صد اطمینان به خروجی پالاینده‌های نرم‌افزاری را افزایش می‌دهد؛ اما در صورت عدم دسترسی به این نوع داده‌ها، استفاده از داده‌های پردازش شده اولیه  $dBZ$  رایج است. شایان توجه است که در این پژوهش نیز به علت عدم دسترسی به داده‌های دوپلری یا محصولات چندپارامتری راداری، تنها داده‌های  $dBZ$  مورد استفاده قرار گرفته است.

کنترل کیفی داده‌ها در رادارهای چندپارامتری با استفاده از متغیرهایی نظیر سرعت شعاعی داپلری، برگشت‌پذیری افقی-قائم، برگشت‌پذیری تفاضلی و ضریب همبستگی، امکان تصحیح میدان‌های سنجش را به صورت مطلوبی فراهم می‌آورد؛ ولی در سامانه‌های راداری تک‌قطبی، پردازش‌ها باید بر مبنای داده‌های برگشت‌پذیری قطبش افقی صورت گیرد که روش‌های مختلفی برای اطمینان از صحت داده‌های پالایش شده وجود دارد.

استفاده از گرادیان‌های افقی و قائم برگشت‌پذیری و هم‌چنین تشخیص ساختار قائم پدیده با مقایسه این داده‌ها در یک زاویه قائم تابشی (tilt) یکی از روش‌های پالایش داده‌های نامناسب از میدان داده‌های راداری است (اشتینر و اسمیت، ۲۰۰۲). هرچند آزمایش گرادیان قائم بین زاویه‌های تابش قائم  $0/5^\circ$  و  $0/7^\circ$  درجه نسبت به افق در فواصل نزدیک به محل رادار تقریب مناسبی از ساختار قائم به دست می‌دهد، ولی در فاصله‌های بیش از  $100$  کیلومتر رفتار غیرخطی امواج ریزموچ در مسیر پیمایش، به علت تغییرات غیرخطی ضریب شکست جوّ و هم‌چنین خمیدگی سطح زمین، باعث ایجاد خطأ در محاسبات می‌شود.

لازم به ذکر است که این مقاله حاوی نتایج مرحله اول از پژوهشی جامع درخصوص استفاده عملی از داده‌های

نوار C بوده (گلستانی و همکاران، ۱۹۹۹ و ۲۰۰۰) و به صورت پیش‌فرض در ۳۶۰ درجه و در راستای شعاعی به هزار بازه ۲۵۰ متری تقسیم شده است. شکل ۲ اولین مرحله از کدگشایی داده‌های راداری را در ربع اول پویش ۰/۵ درجه در ساعت UTC ۲۳۳۰ روز ۳۱ مارس سال ۲۰۰۹ نشان می‌دهد.



شکل ۲. کدگشایی داده‌های راداری در ربع اول پویش ۰/۵ درجه در ساعت UTC ۲۳۳۰ روز ۳۱ مارس سال ۲۰۰۹.

**۳ پیش‌پردازش و نویفه‌ها**

پیش‌پردازش داده‌های برگشتی موجود در فایل‌های XML شامل درستی‌سنجدی داده‌های دوتایی (باینری) با توضیحات آن در بخش اول XML است تا از درستی داده‌ها اطمینان نسبی حاصل گردد. برای این‌کار، ابتدا داده‌ها در پنجره‌های پیشینه و کمینه تعریف شده مورد آزمایش قرار گرفته و سپس اطلاعات مکانی آنها بررسی می‌شود تا از عدم جابجایی داده‌ها در یاخته‌های مجاور اطمینان یافته. در ادامه، درون‌یابی داده‌ها براساس میانگین وزنی انجام می‌گیرد، به طوری که در راستای زاویه‌ای به ۱۴۴۰ بازه تقسیم می‌شوند. یعنی یک دایره که نشان‌دهنده کل حوزه تحت پوشش منطقه است به ۱۴۴۰ زاویه تقسیم شده و داده‌های موجود در ۳۶۰ زاویه قبلی به صورت وزنی

کمیت  $Z$  براساس رابطه (۱)، مقدار آن با استفاده از رابطه زیر به مقیاس لگاریتمی تبدیل می‌شود:

$$dBZ = 10 \log \left( \frac{Z}{1 \text{ mm}^6/\text{m}^3} \right). \quad (2)$$

وجود توان ششم طول در مخرج رابطه (۲)، به علت رابطه برگشت‌پذیری با توان ششم قطر ذرات اندازه‌گیری شده در نوار بسامدی رادار است. لازم به ذکر است که کمیت برگشت‌پذیری برای هر دو نوع قطبش افقی و قائم راداری محاسبه می‌شود که مقادیر آن می‌تواند به درک بهتری از پدیده موجود و جلوگیری از تشخیص اشتباه کمک کند. یکی از پارامترهای کمکی ثانویه که با استفاده از رادارهای با قابلیت دوقطبش به دست می‌آید، برگشت‌پذیری تفاضلی است که به صورت زیر بیان می‌شود:

$$Z_{DR} = \frac{Z_H}{Z_V}, \quad (3)$$

که  $Z_H$  و  $Z_V$  به ترتیب برگشت‌پذیری افقی و قائم راداری و  $Z_{DR}$  نسبت این دو مقدار است که نشان‌دهنده نسبت تقارن پدیده جویی رصدشده و درنتیجه فاز یخی-آبی می‌باشد. از داده‌های راداری به دو منظور کلی می‌توان استفاده کرد. اول آن که با به کار بردن روابط موجود می‌توان محصولات نهایی هواشناسی را برای ارزیابی و تایید پیش‌بینی‌های کوتاه‌مدت فراهم کرد. هدف دوم آن که با استفاده از داده‌های پایه مانند برگشت‌پذیری و برگشت‌پذیری تفاضلی و همچنین سامانه داده‌گواری مدل‌های عددی، به تصحیح پیش‌بینی‌های میان مدت بارش پرداخت.

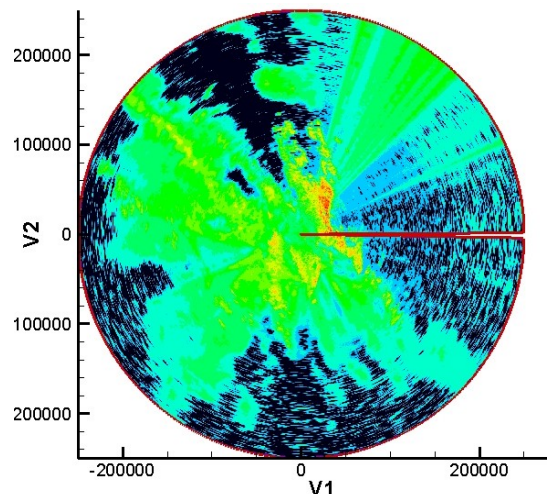
داده‌های به کار رفته در این پژوهش شامل داده‌های رادار هواشناسی تهران است که یک رادار چندپارامتری

#### ۴ الگوریتم به کار رفته و روش پردازش

همان‌طور که پیش‌تر بیان شد، به‌علت وجود محدودیت‌های فنی، در این پژوهش فقط از داده‌های افقی  $dBZ$  استفاده شده است. در مرحله اول، تمام یاخته‌های تصویری ( $1440 \times 1000$  یاخته تصویری) رادار مورد آزمون اریبی قرار می‌گیرند. بدین معنی که با استفاده از بانک داده‌های ۲۶ ساعته، میزان میانگین تمام یاخته‌های تصویری ارزیابی شده و در صورتی که در تمامی پویش‌ها (۳۶۰ پویش در یک شب‌روز) مقدار میانگین برگشت‌پذیری در یک یاخته تصویری بیش از حد مشخص شده باشد، آن یاخته تصویری به عنوان یاخته مستعد نوفه ارزیابی می‌شود.

در مرحله دوم، کل مساحت تحت پوشش رادار به بازه‌های مساحتی مساوی تقسیم می‌شود. همان‌طور که در شکل ۴ مشخص است، به‌علت بازشدنگی زاویه باریکه رادار با دور شدن از آتن، برای بررسی پدیده‌ها در هر فاصله باید از الگوریتمی استفاده کرد که مساحت بسته‌های نمونه‌برداری از اطلاعات راداری نسبت به فاصله تغییری نداشته و با تقریب خوبی مساوی باشند. بدین‌منظور، ابتدا با استفاده از روابط موجود (سوشر و همکاران، ۲۰۰۹)، مساحت باریکه رادار نسبت به فاصله و زاویه محاسبه شده و با پهنگ‌بندی منطقه تحت پوشش رادار به بازه‌های  $50-0$ ،  $50-50$ ،  $100-100$ ،  $150-150$  و  $200-200$  کیلومتری، بسته‌های نمونه‌برداری با مساحت‌های تقریباً مساوی تشکیل می‌گردد که مساحت هر بازه تقریباً ۱۵ کیلومترمربع است. سپس میانگین میزان برگشت‌پذیری در این بسته‌ها محاسبه شده و با تعریف یک آستانه حساسیت، مناطق دارای نوفه نقطه‌ای مشخص و حذف می‌شوند. در مرحله سوم، هر نقطه از داده‌های راداری با مکان هم‌تراز و در زاویه تابش بالایی خود مقایسه می‌شود. طبق شکل ۵، باریکه‌های آتن بسته به فاصله از سطح و در فواصل دورتر از ۱۰۰ کیلومتر، رفتار غیرخطی دارند که

در مکان‌های جدید درون‌یابی می‌شوند، به‌ نحوی که داده‌های هر مکان به‌طور خطی و وزن‌دار به ۴ نقطه پیرامون خود بستگی دارد. در این مرحله، داده‌های راداری با دقت مناسب و قابل قبول بدست می‌آیند. شکل ۳ نمونه تصحیح شده شکل ۲ ولی برای کل حوزه است.

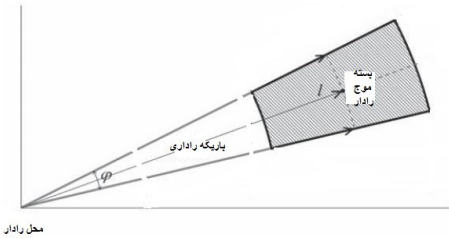


شکل ۳. مانند شکل ۲ ولی برای کل حوزه با درون‌یابی داده‌ها (مقادیر واقع بر محورها فاصله از مرکز بر حسب متر است).

لازم به توضیح است که شیار موجود در سمت راست شکل ۳ به‌علت مسطح کردن مخروط پویش راداری به دایره است و در نتیجه عدم تغییر در اندازه واقعی داده‌ها ایجاد گردیده و درواقع داده‌ای از دست نرفته است. از آنجا که در این مرحله بررسی کمی میزان بازتاب مدل نظر نمی‌باشد، در هیچکدام از شکل‌ها نوار اندازه‌گیری مشخص نشده است. همان‌طور که در شکل ۳ دیده می‌شود، داده‌های راداری دارای نوفه‌های فراوان بوده که منشاء هر کدام متفاوت است. داده‌های موجود از چهار منشاء عمده نوفه متأثر می‌باشند که عبارتند از: نوفه‌های نقطه‌ای (speckle) و محدود، نوفه حاصل از RFI در ناحیه شمال‌شرق رادار، نوفه‌های ناشی از کلاترهای ثابت و نوفه‌های ناشی از انتشار ناهمگون امواج به‌علت گرادیان‌های قائم قوی رطوبت و دما.

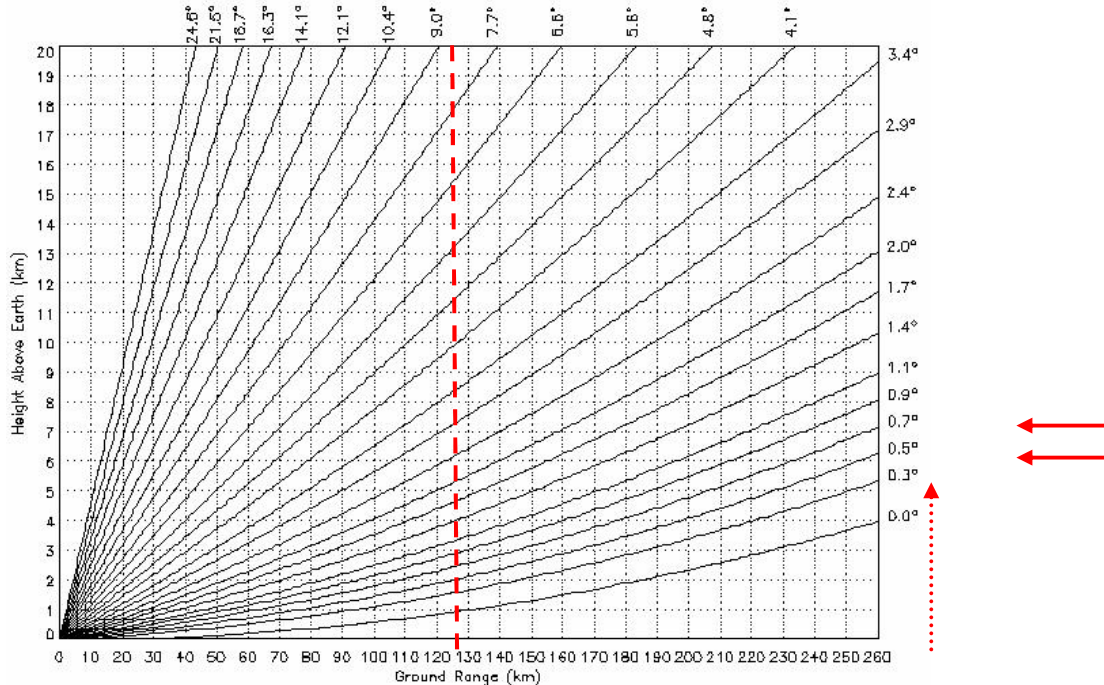
در زاویه کجی بالایی این نقطه اطلاعاتی موجود نباشد، داده‌های زاویه کجی  $0/5$  درجه نویه تلقی و حذف شوند. همچنین در این مرحله، گرادیان قائم برگشت‌پذیری آزمایش می‌شود؛ اگر مقدار آن کمتر از  $10 dBZ$  برابر درجه باشد، پدیده جوی در نظر گرفته می‌شود (لی و همکاران، ۱۹۹۵؛ اشتینر و اسمیت، ۲۰۰۲).

در مرحله چهارم، وجود ساختارهای مورب در راستای قائم آزمایش می‌شود؛ بدین نحو که در هر زاویه کجی، هر نقطه حاوی داده با هشت نقطه هم‌جاوار و متناظر خود با زاویه کجی بالایی مقایسه شده تا در صورت وجود ساختاری مشابه، داده‌ها به صورت نادرست حذف نشوند. بدین منظور، علاوه بر انجام مقایسه مرحله سوم، یک بازه حساسیت‌سنگی نیز در نظر گرفته شده تا داده‌ها به صورت کامل آزمایش شوند. در این مرحله، افزون بر آزمایش نقطه‌به‌نقطه در دو زاویه کجی، میانگین بسته‌ها در دو زاویه کجی نیز با هم مقایسه می‌شود تا به طور کامل وجود یک ساختار امتدادیافه در راستای قائم کشف گردد.



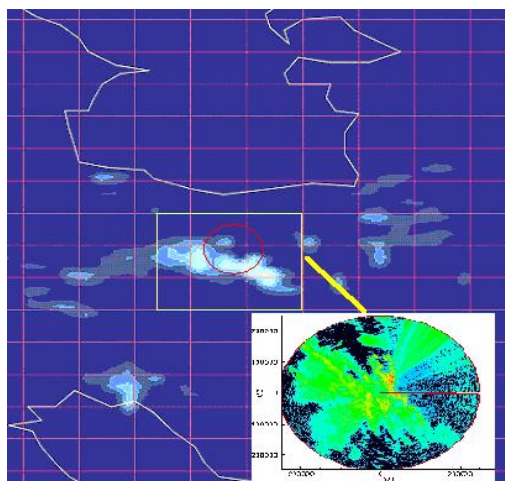
شکل ۴. هندسه باریکه آتن نسبت به فاصله از مرکز.

ناشی از تصحیح خطای خمیدگی زمین و تغییر گرادیان شکست جوی است (چ و همکاران، ۲۰۰۷). همان‌طور که در شکل ۵ دیده می‌شود، اختلاف ارتفاعی بین باریکه‌های  $0/5$  و  $0/7$  درجه در فاصله‌ای که باریکه‌ها رفتار خطی دارند، بسیار کمتر از یک کیلومتر است؛ در حالی که در انتهای باریکه ( $250$  کیلومتر) به حدود یک کیلومتر می‌رسد و ارتفاع خود باریکه  $0/5$  درجه در انتهای مسیرش در حدود  $6$  کیلومتری از سطح آتن است. در این مرحله، یک نقطه دارای زاویه کجی  $0/5$  درجه با نقطه متناظر دارای زاویه کجی  $0/7$  درجه نیز بررسی می‌شود تا در صورتی که در فواصل کمتر از  $100$  کیلومتر از آتن،

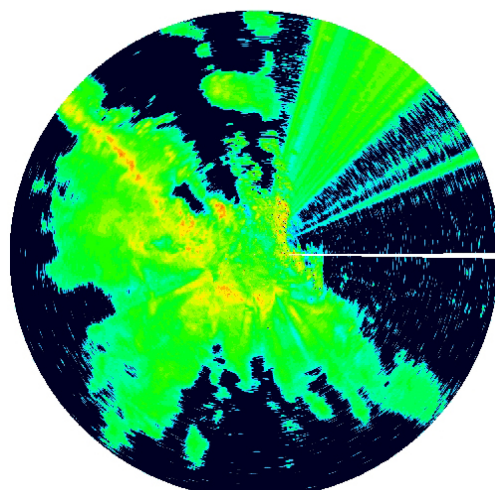


شکل ۵. مسیر انتشار امواج رادار با زوایای تابش مختلف. محور افقی فاصله از آتن و محور قائم ارتفاع از آتن است. مقادیر واقع در سمت چپ و بالای شکل زوایای معمول پوشش راداری در بررسی حجمی منطقه است

نشان‌دهنده داده‌های بارش در ساعت UTC ۲۲۳۰ همان‌روز است که توسط رادار فعال ماهواره TRMM از منطقه مورد بررسی به‌دست آمده و تا حد زیادی طیف و ساختار داده رادار زمین پایه تهران را تایید می‌کند. داده‌های راداری این سامانه (شکل ۳) تا حدودی نشان‌دهنده ساختارهای بارشی است، ولی ساختار خط بارش هم‌رفته آن بارز نیست که علت آن وجود نوافه در کل میدان بارشی رادار و اشباع داده‌های راداری است. داده‌های راداری که نوافه زمینه آن در مرحله پیش‌پردازش حذف شده است، به صورت شکل ۸ می‌باشد.



شکل ۷. داده‌های راداری TRMM در ساعت UTC ۲۲۳۰ روز ۳۰ مارس سال ۲۰۰۹.



شکل ۸. مانند شکل ۳ ولی با حذف نوافه زمینه.

در مرحله آخر، بافت افقی داده‌ها از لحظه سازگاری و پیوستگی آزمایش می‌شود. در این مرحله، برای هر بسته داده‌ای، تفاوت بین داده هر نقطه با نقاط مجاور به‌دست می‌آید و در صورتی که این تفاوت در بازه‌ای قابل قبول باشد، این نقطه به عنوان جزئی از یک ساختار افقی پذیرفته می‌شود. این بازه مقداری است که گرادیان‌های بسیار قوی و نامعقول را حذف کرده و ساختارهای جوی معمول را می‌پذیرد. در این مورد باید دو مسئله را در نظر گرفت؛ اول آن که این مرحله لبه‌های سامانه را نسبت به میدان زمینه متمایزتر می‌کند و دوم این که مناطق دارای مقادیر نامعقول در یک پهنه تقریباً یک‌نواخت را به عنوان اثر انتشار ناهمگون حذف می‌کند.

تمامی مراحل بالا در شکل ۶ به صورت نمودار گردش کار نشان داده شده است.

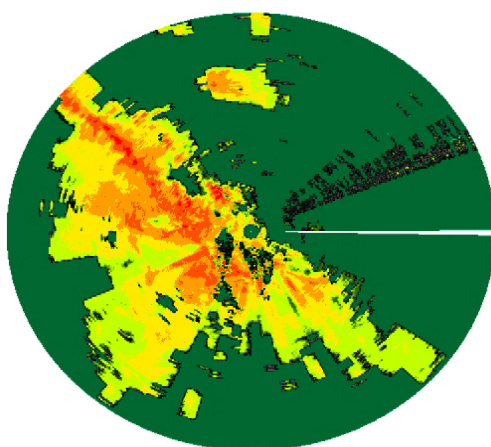


شکل ۶. مراحل مختلف پالایش نوافه‌های راداری.

#### ۵ بررسی موردي

برای آزمایش مراحل الگوریتم شرح داده شده در فوق، یک سامانه خط تندوزه که در ساعت UTC ۲۳۳۰ روز ۳۰ مارس سال ۲۰۰۹ از فراز منطقه تهران عبور کرده، انتخاب شده است. علت انتخاب این سامانه، وجود ساختارهای بارشی پوششی و هم‌رفته در آن است (شکل ۳). شکل ۷

اصلاح داده‌های زمینه، علاوه بر از بین بردن نوشهای مختلف، میدان‌های اندازه‌گیری شده را نیز به صورت مطلوبی تصحیح و بازز نموده است. با مقایسه شکل‌های ۳ و ۱۰، خصوصیات نوار بارشی به خوبی مشخص است. وجود نوار بارش همرفتی در بین پهنه بارش پوشنی و وجود لبه همرفتی در حال رشد در لبه جلویی و هم‌چنین نوار همرفتی میرا در پشت نوار همرفتی بالغ، کاملاً بیانگر یک نوار بارش است.

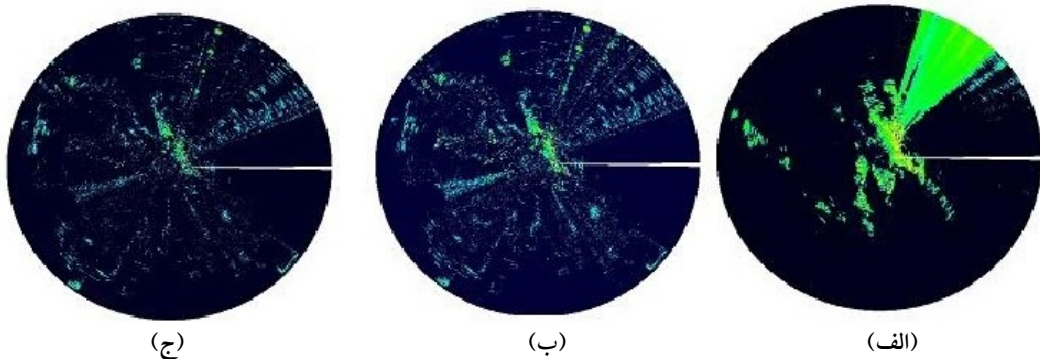


شکل ۱۰. خروجی صافی طیفی پس از حذف نوشهای محلی با حساسیت متوسط.

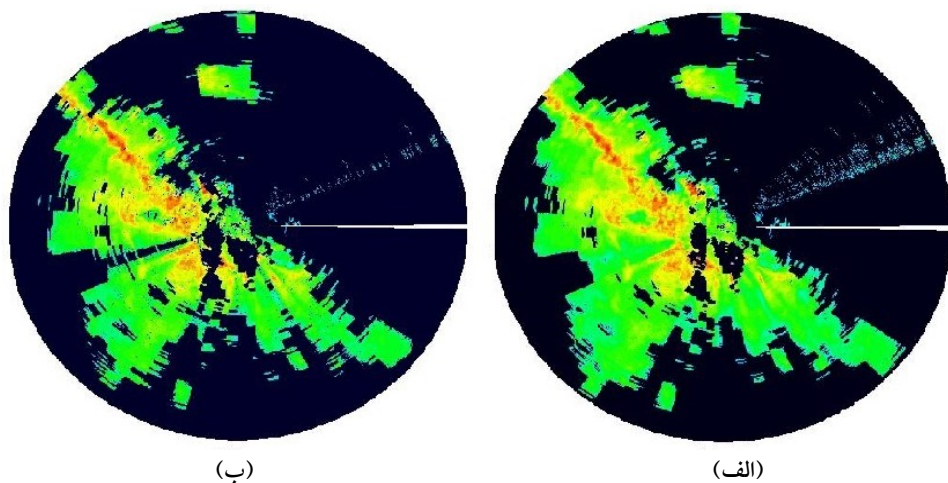
توجه به این نکته مهم است که رفع این نوشهای بستگی زیادی به تنظیم آستانه حساسیت صافی‌ها دارد. برای مثال، نتایج مربوط به استفاده از دو آستانه متوسط و زیاد در شکل ۱۱ ارزیابی و مقایسه شده است. مشاهده می‌شود که

در مرحله دوم، داده‌های پیش‌پردازش شده برای تحلیل طیفی و مقایسه با داده‌های ۲۴ ساعت قبل را دار به منظور تفکیک موانع انتشار امواج راداری و هم‌چنین حذف کلاترهای زمین، از صافی نرم‌افزاری عبور داده می‌شود. الگوی صافی و خروجی تحلیل طیفی داده‌ها در شکل ۹ ارائه شده است. همان‌طور که در این شکل مشخص است، صافی فوق فقط نقاطی که داده‌های دائم در آن وجود دارد را با سه سطح حساسیت نشان می‌دهد. پس از این مرحله، نوشهای نقطه‌ای و محدود صاف شده که نتیجه آن به صورت شکل ۸ است. با توجه به شکل، نه تنها اصلاحات زیادی در میدان‌های سنجشی رادار صورت گرفته است، بلکه الگوی خط تندوزه نیز به مراتب واضح‌تر و ساختار این سامانه مشخص شده است. از سوی دیگر، مناطق قابل توجهی، چه در داخل و چه در خارج از منطقه بارشی، به عنوان نوشه شناسایی و حذف شده‌اند.

پس از آزمایش گرایانه‌ای قائم و یکپارچگی بافت برگشت‌پذیری، نمایه افقی میدان برگشت‌پذیری به صورت شکل ۹ درمی‌آید. این شکل نشان‌دهنده رفع نوشهای تداخل الکترونیکی در مناطق شمال‌شرق، نوشه مربوط به سد کردن انتشار امواج در منطقه جنوب‌غرب و جنوب‌شرق، حذف کلیه کلاترهای کوه‌ساری و هم‌چنین بر طرف کردن اثرات انتشار ناهمگون امواج بر اثر گرایانه‌ای شدید رطوبتی و دمایی در درون پهنه بارشی است.



شکل ۹. صافی طیفی طراحی شده با سه سطح حساسیت: (الف) زیاد، (ب) متوسط و (ج) کم.



شکل ۱۱. خروجی نهایی داده‌های رادار هواشناسی تهران در ساعت ۲۳۳۰ UTC روز ۳۰ مارس سال ۲۰۰۹ با اعمال: (الف) حساسیت متوسط و (ب) حساسیت زیاد.

نقطه‌ای و محلی است. رادار تهران از سمت شمال غرب متاثر از انتشار امواج نوار C است که پهنۀ بزرگی از این منطقه را کاملاً اشباع کرده و در محاسبات عددی خطاهای بزرگی را باعث می‌شود (صفر و همکاران، ۱۳۹۱). صافی به کار رفته در پژوهش حاضر نوشه این منطقه را نیز به طور مناسبی کاهش داده و کیفیت داده‌ها را بهبود داده است. میزان کارایی صافی‌ها بستگی به تنظیم آستانه حساسیت آنها دارد که انتخاب این آستانه باید بنابرۀ کاربرد داده‌ها انجام شود.

#### منابع

صفر، م.، احمدی گیوی، ف.، و محب‌الحججه، ع.، ۱۳۹۱، بررسی اثر گوارد داده‌های رادار در مدل عددی ARPS در شبیه‌سازی بارش حاصل از سامانه همدیدی ۳۱ مارس ۲۰۰۹ در منطقه تهران: مجله ژئوفیزیک ایران، (۳)، ۹۴-۱۱۲.

American Meteorological Society, 2001, Radar Calibration and Validation Specialty Meeting: Albuquerque, New Mexico, U.S.A., 13-14 January 2001.

Atlas, D., 1990, Radar in Meteorology: American Meteorological Society, Boston, 806pp.

حساسیت صافی به گرادیان قائم و بافت افقی میدان اندازه‌گیری شده برای آستانه زیاد (شکل ۱۱-الف) بیشتر از آستانه متوسط (شکل ۱۱-الف) است. لازم به ذکر است که با بررسی عوارض و کوهساری و همچنین شدت و گستردگی نوشهای موجود در منطقه و نیز کاربردی که از این داده‌ها مورد نظر است، این آستانه‌ها باید به صورت بهینه انتخاب شوند.

#### ۶ نتیجه‌گیری

کنترل کیفی و تصحیح داده‌های راداری به علت کاربردهای گوناگون آن و استفاده روزافزون از اطلاعات حاصل از این سنجنده بسیار ضروری و حائز اهمیت است. فرایند کنترل کیفی داده‌ها طیف وسیعی از صافی‌ها را دربرمی‌گیرد که پاسخ‌های متناسب با کاربرد مورد نظر را فراهم می‌آورد. در این پژوهش، علاوه بر استفاده از ساختارهای قائم و افقی میدان اندازه‌گیری شده برگشت پذیری به منظور فوق، از محاسبات طیفی نیز برای رفع خطاهای داده‌ای موجود استفاده شده است. نتایج محاسبات نشان‌دهنده رفع مطلوب نوشهای ناشی از کلاترهای ثابت و پخش ناهمگون و همچنین نوشهای

- correction techniques: *Meteor. Appl.*, **7**, 135–144.
- Hubbert, J. C., Bringi, V. N., and Brunkow, D., 2003, Studies of the polarimetric covariance matrix: Part I: Calibration methodology: *J. Atmos. Ocea. Tech.*, **20**(5), 696–706.
- Joss, J., and Wessels, H., 1990, Ground clutter suppression for weather radar data: COST Tech. Rep. 73/WD/130, 6 pp.
- Lee, R., Della Bruna, G., and Joss, J., 1995, Intensity of ground clutter and echoes of anomalous propagation and its elimination: Reprints, 27th Conf. on Radar Meteorology, Vail, CO, Amer. Meteor. Soc., 651–652.
- Melnikov, V. M., Zrnić, D. S., Doviak, R. J., and Carter, J. K., 2003, Calibration and performance analysis of NSSL's polarimetric WSR-88D: National Severe Storm Laboratory.
- Rosenfeld, D., Amitai, E., and Wolff, D. B., 1995, Classification of rain regimes by the three-dimensional properties of reflectivity fields: *J. Appl. Meteor.*, **34**, 198–211.
- Rossa, A., Bruen, M., Frühwald, D., Macpherson, B., Holleman, I., Michelson, D., and Michaelides, S., 2005, Use of Radar Observations in Hydrological and NWP Models. COST Action 717: Final Report, COST Office, Luxembourg.
- Rossa, A., Haase, G., Keil, C., Alberoni, P., Ballard, S., Bech, J., Germann, U., Pfeifer, M., and Salonen, K., 2010, Propagation of uncertainty from observing systems into NWP: COST-731 Working Group 1: *Atmos. Sci. Lett.*, **11**, 145–152.
- Šalek, M., Cheze, J.-L., Handwerker, J., Delobbe, L., and Uijlenhoet, R., 2004, Radar techniques for identifying precipitation type and estimating quantity of precipitation. COST Action 717: Final Report, COST Office, Luxembourg.
- Steiner, M., Smith, J. A., Burges, S. J., Alonso, C. V., and Darden, R. W., 1999, Effect of bias adjustment and rain gauge data quality control on radar rainfall estimation: *Water Resour. Res.*, **35**, 2487–2503.
- Steiner, M., and Smith, J. A., 2002, Use of three-dimensional reflectivity structure for automated detection and removal of non-precipitation echoes in radar data: *J. Atmos. Ocea. Tech.*, **19**, 673–686.
- Szturc, J., Ośródka, K., and Jurczyk, A. 2009, Quality index scheme for 3D radar data volumes: Proceedings of 34th Conference on Bebbington, D., Rae, S., Bech, J., Codina, B., and Picanyol, M., 2007, Modeling of weather radar echoes from anomalous propagation using a hybrid parabolic equation method and NWP model data: *Natural Hazards and Earth System Sciences*, **7**, 391–398.
- Bech, J., Gjertsen, U., and Haase, G., 2007, Modeling weather radar beam propagation and topographical blockage at northern high latitudes: *Quart. J. Roy. Meteorol. Soc.*, **133**, 1191–1204.
- Bringi, V. N., Chandrasekar, V., Meischner, P., Hubbert, J., and Golestani, Y., 1991, Polarimetric radar signature of precipitation at S and C bands: Special issue of IEE proceedings on radar clutter and multipath propagation (part F), **138**(2), 109–119.
- Einfalt, T., Szturc, J., and Ośródka, K., 2010, The quality index for radar precipitation data: A tower of Babel: *Atmos. Sci. Lett.*, **11**, 139–144.
- Gekat, F., Meischner, P., Friedrich, K., Hagen, M., Koistinen, J., Michelson, D. B., and Huuskonen, A., 2004, The state of weather radar operations, networks and products: In: Weather radar. Principles and advanced applications, P. Meischner, (Ed.), 1–51, Springer-Verlag, Berlin–Heidelberg, Germany.
- Germann, U., and Joss, J., 2004, Operational measurement of precipitation in mountainous terrain: In: Weather radar. Principles and advanced applications, P. Meischner, (Ed.), 52–77, Springer-Verlag, Berlin–Heidelberg, Germany.
- Golestani, Y., Chandrasekar, V., and Keller, J., 1995, Dual polarized staggered PRT scheme for weather radars: Analysis and applications: *IEEE Transactions on Geoscience and Remote Sensing*, **33**(2), 239–246.
- Golestani, Y., Noorian, A. M., and Hudak, D. R., 1999, Preliminary Studies for the Deployment of Weather Radar Network in the Islamic Republic of Iran: 29th International Conference on Radar Meteorology, Montreal, Canada.
- Golestani, Y., Noorian, A. M., and Hudak, D. R., 2000, Design considerations for the two C- and one S-band Doppler weather radars in the Islamic Republic of Iran: *Phys. Chem. Earth (B)*, **25**, 991–994.
- Harrison, D. L., Driscoll, S. J., and Kitchen, M., 2000, Improving precipitation estimates from weather radar using quality control and

- Vehviläinen, B., Germann, U., and Rossa, A., 2010, Propagation of uncertainty from observing systems and NWP into hydrological models: COST-731 Working Group 2: Atmos. Sci. Lett., **11**, 83–91.
- Zmic, D. S., 2005, Calibrating differential reflectivity on the WSR-88D. Part I: NSSL Report, May 2005.
- Zmic, D. S., 2007: Calibrating differential reflectivity on the WSR-88D. Part II: NSSL Report, April 2007.
- Radar Meteorology AMS, 5–9 October, Williamsburg, VA.
- Yilmaz, K., Hogue, T., Hsu, K., Sorooshian, S., Gupta, H., and Wagener, T., 2005, Intercomparison of rain gauge, radar, and satellite-based precipitation estimates with emphasis on hydrologic forecasting: J. Hydrometeorol., **6**, 497–517.
- Zappa, M., Beven, K. J., Bruen, M., Cofiño, A. S., Kok, K., Martin, E., Nurmi, P., Orfila, B., Roulin, E., Schröter, K., Seed, A., Szturc, J.,